

**Zeitschrift:** Schweizerische Bauzeitung  
**Herausgeber:** Verlags-AG der akademischen technischen Vereine  
**Band:** 79/80 (1922)  
**Heft:** 21

**Artikel:** Beiträge zur Berechnung von Eisenbeton-Querschnitten auf einheitlicher tabellarischer Grundlage  
**Autor:** Pasternak, P.  
**DOI:** <https://doi.org/10.5169/seals-38093>

#### **Nutzungsbedingungen**

Die ETH-Bibliothek ist die Anbieterin der digitalisierten Zeitschriften auf E-Periodica. Sie besitzt keine Urheberrechte an den Zeitschriften und ist nicht verantwortlich für deren Inhalte. Die Rechte liegen in der Regel bei den Herausgebern beziehungsweise den externen Rechteinhabern. Das Veröffentlichen von Bildern in Print- und Online-Publikationen sowie auf Social Media-Kanälen oder Webseiten ist nur mit vorheriger Genehmigung der Rechteinhaber erlaubt. [Mehr erfahren](#)

#### **Conditions d'utilisation**

L'ETH Library est le fournisseur des revues numérisées. Elle ne détient aucun droit d'auteur sur les revues et n'est pas responsable de leur contenu. En règle générale, les droits sont détenus par les éditeurs ou les détenteurs de droits externes. La reproduction d'images dans des publications imprimées ou en ligne ainsi que sur des canaux de médias sociaux ou des sites web n'est autorisée qu'avec l'accord préalable des détenteurs des droits. [En savoir plus](#)

#### **Terms of use**

The ETH Library is the provider of the digitised journals. It does not own any copyrights to the journals and is not responsible for their content. The rights usually lie with the publishers or the external rights holders. Publishing images in print and online publications, as well as on social media channels or websites, is only permitted with the prior consent of the rights holders. [Find out more](#)

**Download PDF:** 23.02.2026

**ETH-Bibliothek Zürich, E-Periodica, <https://www.e-periodica.ch>**

INHALT: Beiträge zur Berechnung von Eisenbeton-Querschnitten auf einheitlicher tabellarischer Grundlage. — Der Abschluss der Elektrifizierungsarbeiten der Räthäischen Bahn. — Ideenwettbewerb für die Erweiterung des Friedhofs im Friedental in Luzern. — Die elektrischen Lokomotiven 1.DI der Paris-Orléans-Bahn und die Verbindung ihrer kritischen Geschwindigkeiten. — Miscellanea: Elektrifizierung der

Räthäischen Bahn. Der Ozeandampfer „Bismarck“. Die Bahn vom Katangabezirk zum Kongo. Vollbahn-Elektrifizierung in Frankreich. Die schweizerische Naturforschende Gesellschaft. Comptoir suisse Lausanne 1922. Eidgen. Techn. Hochschule. — Nekrologie: G. v. Hauberrisser. — Literatur. — Vereinsnachrichten: Schweiz. Ingenieur- und Architekten-Verein. Basler Ingenieur- und Architekten-Verein. Stellenvermittlung.

## Band 79.

Nachdruck von Text oder Abbildungen ist nur mit Zustimmung der Redaktion und nur mit genauer Quellenangabe gestattet.

Nr. 26

27

## Beiträge zur Berechnung von Eisenbeton-Querschnitten auf einheitlicher tabellarischer Grundlage.<sup>1)</sup>

Von Ing. P. Pasternak, Privatdozent an der E. T. H., Zürich.

### I. Die Berechnung des doppelt bewehrten Querschnitts.

Aus den angenäherten Untersuchungen Rossins<sup>2)</sup>, M. Mayers<sup>3)</sup>, ebenso aus den neuesten graphischen und tabellarischen Tafeln Mörschs<sup>4)</sup> und Saligers<sup>5)</sup> für einige besondere Fälle zulässiger Betondruckspannungen weiß man, dass die kleinste Doppelbewehrung eines rechteckigen Querschnittes bei Biegung mit Axialdruck gewöhnlich erhalten wird bei einer mehr oder weniger starken Ermässigung der zulässigen Eisenzugsspannung.

Eine praktisch brauchbare, von der Wahl der zulässigen Betondruckspannung unabhängige, allgemeine Methode zur Bestimmung der günstigsten Eisenzugsspannung ist bis jetzt nicht gegeben worden. Eine solche Methode ist besonders für schweizerische Verhältnisse notwendig, da nach den Vorschriften der S. B. B. vom 26. November 1915 die zulässigen Betondruckspannungen von der Zweckbestimmung des Baues und bei Gewölben von den Spannweiten abhängen, also ziemlich grossen Schwankungen unterworfen sind.

Die hier gezeigten Nomogramme (Abbildungen 2, 3, 5 und 6 auf den folgenden Seiten), gestatten für die Schweiz und die übrigen Länder die unmittelbare Entnahme des günstigsten Randspannungsverhältnisses  $\gamma = \frac{\sigma_e}{\sigma_b}$  und der zugehörigen prozentualen Zug und Druckbewehrungen. Sie haben sich aus folgender Untersuchung ergeben:

Eine Druckkraft  $P$ , die außerhalb des Kerndrittels in der Symmetrieaxe eines rechteckigen (oder auch andern) Eisenbetonquerschnittes angreift, darf in ihrer Wirkung ersetzt werden durch das Biegemoment  $M = Pe$  (siehe Abbildung 1) und durch die im Schwerpunkt der Zugeisen entlastend wirkende Druckkraft  $P$ . In der Tat, schreibt man die zulässigen Randspannungen  $\sigma_e$  und  $\sigma_b$  vor, oder, was schon genügt, allgemeiner das Randspannungsverhältnis  $\gamma = \frac{\sigma_e}{\sigma_b}$ , so liegt auch die neutrale Axe durch die einfache Beziehung

$$\xi = \frac{n}{n + \gamma}, \quad (1)$$

worin  $\xi = \frac{x}{h} x$  und  $n = \frac{E \text{ Eisen-Zug}}{E \text{ Beton-Druck}}$ , fest. Man darf also bei der Dimensionierung die einzelnen Belastungsfälle einander überlagern, „superponieren“.

Führt man die weitern Bezeichnungen ein

$$m = \frac{M}{\sigma_b b h^2}, \quad p = \frac{P}{\sigma_b b h}, \quad \delta = \frac{h}{h},$$

$\mu = \frac{50 \xi}{\gamma}$  (prozentuale, einseitige, zum gewählten  $\gamma$  zuge-

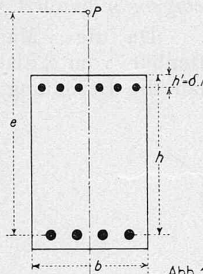
<sup>1)</sup> Manuskript eingegangen Anfang Oktober 1921.

<sup>2)</sup> «Ableitung von Formeln zur direkten Dimensionierung der Eisen-Einlagen in exzentrisch belasteten Eisenbetonquerschnitten» in «Armerter Beton», Juni 1911.

<sup>3)</sup> «Die Wirtschaftlichkeit als Konstruktionsprinzip im Eisenbetonbau». Berlin 1913, Verlag Julius Springer.

<sup>4)</sup> «Der Eisenbetonbau», I. Band, I. Hälfte, S. 412 bis 415, Stuttgart 1920, Verlag Konrad Wittwer.

<sup>5)</sup> «Der Eisenbeton», S. 267, Stuttgart 1920, Verlag Alfr. Kröner.



hörige Zugarmierung), und  $K_1 = \frac{\xi}{2} \left( 1 - \frac{\xi}{3} \right)$ , so können auf Grund des Superpositionsge setzes für die prozentualen Zug- und Druckbewehrungen  $\mu_z$  und  $\mu_d$  unmittelbar die Ausdrücke angeschrieben werden

$$\mu_z = \mu + \frac{100 (m - \delta)}{(1 - \delta) \gamma} - \frac{100 p}{\gamma} \quad (2)$$

$$\mu_d = \frac{100}{n' (1 - \delta)} \frac{\xi}{\xi - \delta} (m - K_1)$$

$n'$  ist das „Gewicht“ der Druckbewehrung

$$n' = \frac{E_e \text{ Druck}}{E_b}$$

Mit Berücksichtigung von (1) können die Formeln (2) sowohl als rationale Funktionen von  $\gamma$  als auch  $\xi$  allein ausgedrückt werden. Zur Bestimmung der kleinsten Bewehrungsumme ist die zweite Auffassung bequemer.

$(f + f')$  oder auch  $(\mu + \mu')$  wird ein Minimum für ein  $\xi$ , das der Bedingungsgleichung

$$\frac{d \mu_z}{d \xi} + \frac{d \mu_d}{d \xi} = 0 \text{ genügt.}$$

Offenbar kommt nur ein Minimum in Frage, da mit  $\xi = 0$ , also bei völligem Verzicht auf die Mitwirkung des Betons, die grösste Bewehrungsumme erhalten wird.

Nach einigen einfachen Umformungen liefert die Differentialquotientensumme der Gleichungen (2) die Bedingungsgleichung 5. Grades in  $\xi$ :

$$(1 - \delta) (\xi - \delta)^2 p - \left[ (\xi - \delta)^2 - \frac{n}{n'} \delta (1 - \xi)^2 \right] m + \frac{\xi}{2} \left[ \left( 1 - \frac{2}{3} \xi \right) \xi - (2 - \xi) \delta \right] \left[ \frac{n}{n'} (1 - \xi)^2 - (\xi - \delta)^2 \right] = 0 \quad (3)$$

die also in algebraisch geschlossener Form als Funktion gegebener  $m$ ,  $p$ ,  $\delta$  und  $\frac{n}{n'}$  nicht aufgelöst werden kann, insbesondere nicht bei Annahme der schweizerischen Eisenbeton-Verordnungen mit  $\frac{n}{n'} = \frac{20}{10} = 2$ .

Bemerkenswert ist die Reduktion der Extremalbedingung auf eine Gleichung 4. Grades bei  $\frac{n}{n'} = 1$ , also für alle übrigen Länder. Man erhält in diesem wichtigen Fall

$$(\xi - \delta)^2 p - (\xi^2 - \delta) m + \frac{\xi}{2} \left[ \left( 1 - \frac{2}{3} \xi \right) \xi - (2 - \xi) \delta \right] \times [1 + \delta - 2 \xi] = 0 \quad (3a)$$

und eine geschlossene Darstellung von  $\xi$  wäre möglich als  $\xi = f(m, p, \delta)$ .

Für die Bedürfnisse der Praxis ist aber in beiden Fällen folgende graphische Lösung weitaus einfacher und bequemer.

Es seien  $u$  und  $v$  die laufenden Koordinaten eines Punktes in einem beliebigen schief- oder rechtwinkligen Axensystem. Wählt man

$$u = \frac{(1 - \delta) (\xi - \delta)^2}{(\xi - \delta)^2 - \frac{n}{n'} \delta (1 - \xi)^2} = f_1 (\xi, \delta) \quad (4)$$

$$v = \frac{\xi}{2} \left[ \left( 1 - \frac{2}{3} \xi \right) \xi - (2 - \xi) \delta \right] \left[ \frac{\left( \frac{n}{n'} (1 - \xi)^2 - (\xi - \delta)^2 \right)}{\left( (\xi - \delta)^2 - \frac{n}{n'} \delta (1 - \xi)^2 \right)} \right] = f_2 (\xi, \delta)$$

wobei für  $\frac{n}{n'} = 1$  die entsprechenden Vereinfachungen eintreten, so können nun die Extremalbedingungen (3) und (3a) auf die einfache Form gebracht werden

$$\frac{u}{p} + \frac{v}{m} - 1 = 0, \quad (5)$$



auch bei *reiner* Biegung gültig bleiben. Man hat mit  $p = 0$   $\frac{m}{p} = \infty$ ,  $m - p = m$ , hat also die  $\gamma$ -Masstäbe mit *Parallelen* zur  $\frac{m}{p}$ -Axe zum Schnitt zu bringen. Um die Nomo-gramme, besonders das schweizerische, auch bei *dünnen* Platten verwenden zu können, wäre freilich die Eintragung weiterer  $\gamma$ -Masstäbe für  $\delta > 0,14$  notwendig. Diese Ergän-

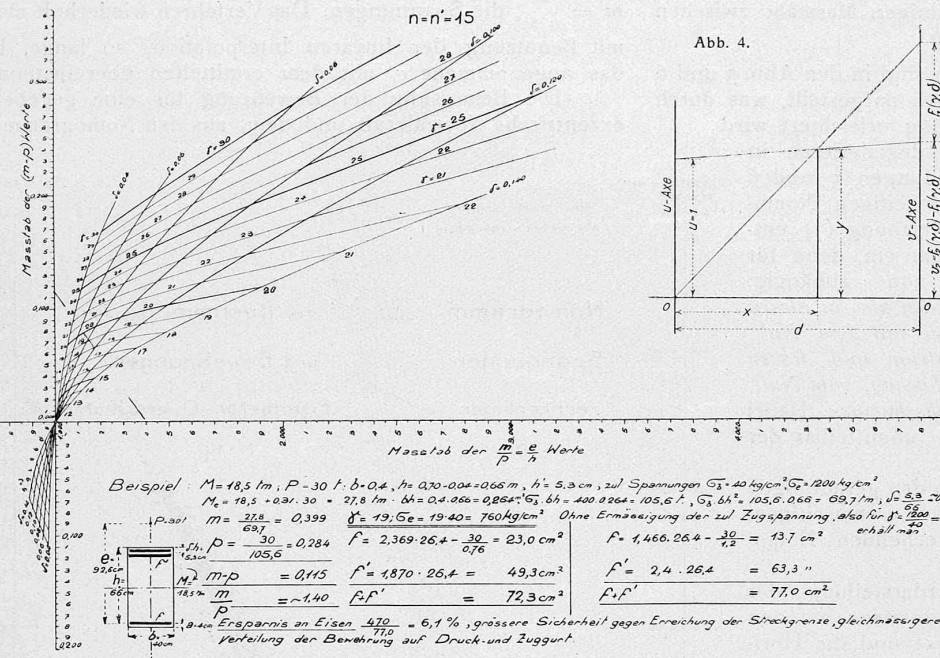


Abb. 3. Nomogramm zur Bestimmung der günstigsten Spannungsverhältnisse bei Annahme von  $n = n' = 15$ .

zung meiner Nomogramme behalte ich mir vor. Jenes in Abbildung 3 zeigt, dass eine Ermässigung der zulässigen Zugspannung bei reiner Biegung und  $n = n' = 15$  gewöhnlich nicht in Frage kommt. Abbildung 2 mit  $n = 20$ ,  $n' = 10$  lässt hingegen erkennen, dass nach den schweizerischen Normen eine solche Ermässigung auch bei reiner Biegung wirtschaftlich sein kann.

Hat man das günstigste Spannungsverhältnis  $\gamma$  den Abbildungen 2 bzw. 3 entnommen, so geben die Formeln (2) die zugehörigen Armierungsprozente. Ihre Auswertung wird erleichtert durch die beigelegte *Tabelle I der Koeffizienten der rechteckigen, einseitig zugbewehrten Eisenbeton-Querschnitte*, die für die ganzzahligen  $\gamma$ -Werte 5 bis 110 u. a. die zugehörigen  $\xi$ ,  $K_1$  und  $\mu$ -Werte enthält. Diese Tabelle erledigt sämtliche praktisch vorkommenden Spannungs- und Bemessungsaufgaben einseitig zugbewehrter Rechteckquerschnitte bei reiner Biegung und Biegung mit Axialkraft und zwar nicht nur für  $n = 20$ , sondern für jedes beliebige statische Gewicht der Bewehrung. Auf die weiteren Anwendungsmöglichkeiten dieser grundlegenden Tabelle werde ich im zweiten Teil dieser Abhandlung hinweisen. Noch einfacher ist aber die Benützung der in den Abbildungen 5 und 6 wiedergegebenen Nomogramme.

Unterdrückt man in der ersten der Gleichungen (2) den von der Druckkraft  $P$  herrührenden Beitrag, so lassen sich diese Gleichungen durch die folgenden Beziehungen ersetzen:

$$\frac{(1-\delta)'}{100} \mu_z = \left[ (1-\delta) \frac{\xi}{2} - K_1 \right] + m$$

$$\mu_z - \frac{n'}{n} \frac{(\xi - \delta)}{(1 - \xi)} \mu_d = \mu \quad (7)$$

Die Gleichungen (7) sind *lineare* Verknüpfungen von  $m$ ,  $\mu_z$ , bzw.  $\mu_z$ ,  $\mu_d$ , wobei die in ihnen vorkommenden Koeffizienten einfache Funktionen der  $\gamma$  und  $\delta$  darstellen. Man könnte sie wieder auf die Form (5) bringen; bequemer ist aber hier die Einführung zweier paralleler Mass-

stäbe für die natürlichen Zahlwerte  $m, \mu_1, \mu_2$ , bzw.  $\mu_3, \mu_4$ . Trägt man nämlich zugehörige Wertepaare  $u, v$  der linearen Beziehung  $f_2(\gamma, \delta) = f_1(\gamma, \delta)u + v$  (8) in beliebigen Maßstäben und von beliebigen Nullpunkten ausgehend auf zwei parallelen  $u$ - und  $v$ -Axe ab, bei festgehaltenem Wertepaar  $\gamma, \delta$ , so erhält man augenscheinlich auf diesen Axen zwei ähnliche und ähnlich gelegene Punktreihen. Die Verbindungsgeraden entsprechender

Punkte gehen also durch einen *festen* Punkt, dem Aehnlichkeitszentrum und offenbar Schnittpunkt zweier, im allgemeinen krummlinigen  $\gamma$ - und  $\delta$ -Masstäbe. Letztere kann man also rasch graphisch und punktweise bestimmen, indem man für passend gewählte Wertpaare  $\gamma$ ,  $\delta$  die Verbindungsgeraden zweier entsprechender Punktpaare, am bequemsten der Punktpaare

$u=0$ ,  $v=f_2(\gamma, \delta)$  und  
 $u=1$ ,  $v=f_2(\gamma, \delta) - f_1(\gamma, \delta)$   
zum Schnitt bringt (siehe  
nebenstehende Abb. 4).

Man kann aber auch die gewünschten Teilpunkte auf den  $\gamma$ -,  $\delta$ -Masstab durch rechtwinklige Koordinaten einrechnen, was bei schleifenden Schnittbildungen zu empfehlen ist. Die in Abb. 4 angegebene Konstruktion gestattet, solches Koordinatenpaar unmittelbar abzulesen:

Tabelle I. Koeffizienten der rechteckigen, einseitig zugbewehrten Eisenbeton-Querschnitte für  $n = 20$ .

$\gamma$	$\xi$	$\varrho$	$k_1$	$k_2$
$\xi$	$\varrho$	$k_1$	$k_2$	$\mu$
5	0,800	0,733	293	587
6	769	746	286	477
7	741	753	279	398
8	714	762	272	340
9	690	770	265	295
10	667	778	259	259
11	645	785	253	230
12	623	792	247	206
13	606	798	242	1860
14	588	804	236	1689
15	571	809	231	1542
16	556	815	226	1445
17	5405	820	222	1403
18	526	8245	217	1206
19	513	829	216	1149
20	500	833	208	1042
21	488	837	204	973
22	476	841	200	910
23	465	845	1963	854
24	4545	848	1924	804
25	444	852	1893	757
26	435	855	1859	715
27	4255	858	1826	676
28	417	861	1794	641
29	408	864	1763	608
30	400	867	1733	578
31	392	869	1704	550
32	385	872	1677	524
33	377	874	1649	500
34	370	8765	1623	477
35	364	879	1598	457
36	357	881	1573	437
37	351	883	1549	419
38	345	885	1526	402
39	339	887	1503	385
40	333	889	1481	370
41	328	891	1460	356
42	3226	8925	1439	343
43	317	894	1419	330
44	3125	896	1400	318
45	308	897	1384	307
46	303	899	1362	296
47	2985	9005	1344	286
48	294	902	1326	276
49	290	9034	1309	267
50	286	905	1293	259
51	282	906	1276	250
52	278	907	1260	242
53	274	909	1245	234
54	270	910	1230	228
55	267	911	1215	221
56	263	912	1200	214
57	260	913	1186	208

$$\left. \begin{aligned} x &= \frac{d}{1 + f_1(\gamma, \delta)}, & \frac{y}{f_2(\gamma, \delta)} &= \frac{x}{d} \quad \text{oder} \\ y &= \frac{f_2(\gamma, \delta)}{1 + f_1(\gamma, \delta)} \end{aligned} \right\} \quad (9)$$

Tritt  $u$  oder  $v$  in der Bedingungsgleichung (8) beständig mit dem negativen Zeichen auf, wie z. B. in den Gleichungen (7), so erteilt man den parallelen  $u$ - und  $v$ -Masstab (im gegebenen Falle den  $m$ - und  $\mu_z$ -, bzw.  $\mu_z$ - und  $\mu_d$ -Masstab) entgegengesetzte Sinne, wodurch es in allen Fällen gelingt, die krummlinigen Masstäbe zwischen den Parallelmasstäben einzuschalten.

Auf die beschriebene Weise sind in den Abb. 5 und 6 die Gleichungen (7) nomographisch dargestellt, was durch eine bemerkenswerte Vereinfachung erleichtert wird:

Die Träger der  $\delta$ -Masstäbe degenerieren in beiden Nomogrammen der Abbildungen 5 und 6 zu geraden Linien. Für die linksseitigen Nomogramme, welche der zweiten Gleichung (7) entsprechen, leuchtet dies unmittelbar ein, denn für  $\mu_d = 0$  wird  $\mu_z = \mu$ , d. h. nur von  $\gamma$  abhängig.

Die Träger der  $\delta$ -Masstäbe bilden also in diesen Nomogrammen ein Strahlenbüschel mit dem Nullpunkt des  $\mu_x$ -Masstabes als Zentrum und dessen Strahlen auf dem parallelen  $\mu_z$ -Masstab, vom Nullpunkt aus, die Strecken  $\mu_z = \mu$  abschneiden. Dabei können, für ganzzahlige  $\gamma$ , die  $\mu$  unmittelbar der Tabelle I entnommen werden.

Weniger einfach erkennt man den geradlinigen Charakter der  $\delta$ -Trajektorien in den rechtsseitigen, der oberen Gleichung (7) entsprechenden Nomogrammen.

Bezieht man die Parameterdarstellung der  $\gamma$ - $\delta$ -Trajektorien in diesen Nomogrammen auf den rechtsseitigen  $\mu_2$ -Masstab als  $\gamma$ -Axe und die Horizontale durch  $\mu_2 = 0$  als  $x$ -Axe, so kann man aus einer der Abbildung 4 entsprechenden Skizze mit Leichtigkeit ablesen

$$x = \frac{d}{1 + \frac{(i-\delta)\gamma}{100}}, \quad y = \frac{h + \left[(i-\delta)\frac{\xi}{2} - K_1\right]}{1 + \frac{(i-\delta)\gamma}{100}}$$

oder  $\frac{y}{x} = \frac{h + (i-\delta)\frac{\xi}{2} - K_1}{d} \quad (10)$

wo  $d$ , wie früher, den Abstand und  $h$  die Länge der Parallelmasstäbe bedeuten. Hält man  $\gamma$ , also auch  $\xi$  und  $K_1$  fest und denkt sich aus der letzten Gleichung mit Hülfe der ersten  $(1-\delta)$  eliminiert, so übersicht man, dass  $y$  und  $x$  linear miteinander verknüpft sind. Die  $\delta$ -Trajektorien sind also auch hier geradlinig. Wir bestimmen sie wieder am einfachsten durch ihre Schnittpunkte mit den Parallelmasstäben. Man erhält mit

$$\delta = 1 : x = d, \quad y = h - K_1$$

also folgendes interessante Resultat

also folgendes interessante Resultat:

Die  $\delta$ -Trajektorien in den Nomogrammen, welche  $m$ ,  $\mu_2$ ,  $\gamma$  und  $\delta$  miteinander verknüpfen, sind die Verbindungsgeraden der zu gleichen  $\gamma$ -Werten zugehörigen Punktpaare  $m = K_1$ ,  $\mu_2 = \mu$  auf den entsprechenden Parallelmasstäben. Die  $K_1$  und  $\mu$  können für ganze Zahlwerte  $\gamma$  der Tabelle I entnommen werden. — Umgekehrt erkennt man, dass die Nomogramme der Abbildungen 5 und 6 auch zur Be-rechnung und Bemessung einseitig zugewerteter Rechteckquerschnitte benutzt werden können, in Ersatz der Tabelle I.

Der Ersatz der Bedingungsgleichung zwischen  $m$  und  $\mu_d$  durch die Gleichung zwischen  $\mu_z$  und  $\mu_d$  ist vorgenommen worden, um diese Nomogramme auch zu Spannungs-Ermittlungen benützen zu können. In der Tat liefern, bei gegebenen  $\mu_z$ ,  $\mu_d$  und  $\delta$ , die linksseitigen  $\gamma$ -Kurven das zugehörige  $\gamma$ . Mit Hülfe der rechtsseitigen  $\gamma$ -Kurven erhält man hierauf  $m$  und, bei reiner Biegebeanspruchung, die Spannungen selbst aus:

$$\sigma_b = \frac{M}{m_b h^2}, \quad \sigma_e = \gamma \sigma_b.$$

Durch Versuchsberechnungen lassen sich auch die Spannungen bei exzentrischer Normalkraft mittels der Abbildungen 5 und 6 rasch ermitteln.

Man schätzt  $\sigma_e$ ,<sup>1)</sup> macht zur Zugbewehrung den Ab- oder Zuschlag  $\frac{P}{\sigma_e}$ , je nachdem  $P$  eine Druck- oder Zugkraft ist, und bestimmt wie gezeigt für das gegebene  $m = \frac{P_e}{\sigma_b b^2}$  die Spannungen. Das Verfahren wiederholt man, mit Benützung der linearen Interpolation, so lange, bis das angenommene  $\sigma_e$  mit dem ermittelten übereinstimmt.

Die Bemessung der Bewehrung für eine gegebene exzentrische Normalkraft und dem, aus den Nomogrammen

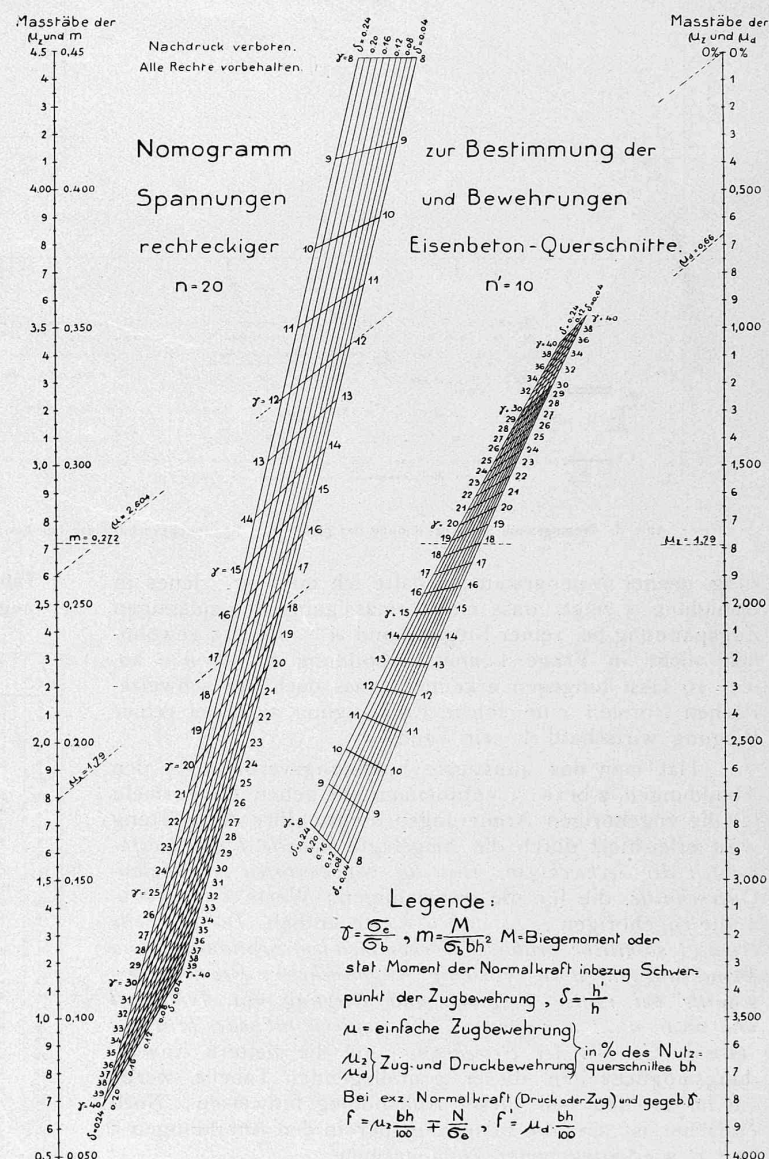


Abb. 5. Nomogramm zur Bestimmung der Spannungen und Bewehrungen für  $n = 20$ ,  $n' = 10$ .

Abbildungen 2 und 3 entnommenen günstigsten  $\gamma$  erfolgt natürlich genau, auf umgekehrtem Wege. Man bestimmt zunächst  $\mu_s$  aus  $m$ ,  $\gamma$ ,  $\delta$ ; hierauf  $\mu_d$ .  $\mu_d$  ist richtig; zur Zugbewehrung ist aber noch der Ab- oder Zuschlag  $\frac{P}{\sigma_e}$  zu machen, je nachdem auf den Querschnitt eine Druck- oder Zugkraft wirkt.

Die mit  $n = n' = 15$  berechneten Nomogramme der Abbildung 6 können, wie das zugehörige Nomogramm der

<sup>1)</sup> Z. B. durch erstmalige Vernachlässigung der Druckarmierung, wobei sie sich sehr einfach mit Hilfe der Tabelle I ergibt.

Abbildung 3, für ganz beliebige  $n$  benutzt werden. Der  $m$ -Masstab bleibt für alle  $n$ -Werte erhalten; den Teilpunkten der  $\gamma$ -,  $\mu_z$ - und  $\mu_d$ -Masstäbe entsprechen aber, bei einem andern  $n$ , die Werte

$$\gamma' = \frac{n \gamma}{15}, \quad \mu_z' = \frac{15 \mu_z}{n}, \quad \mu_d' = \frac{15 \mu_d}{n} \quad (10)$$

Die Richtigkeit dieser einfachen Uebergangsformeln erhellt aus der Verbindung der Gleichungen (1) und (7), die zeigt, dass  $\frac{\gamma}{n}$ ,  $n\mu_z$  und  $n\mu_d$  nur von  $\xi$ ,  $\delta$  und nicht von  $n$  abhängen.<sup>1)</sup>

Die Beziehungen der Statik steifer Baukonstruktionen, insbesondere der Eisenbeton-Statik sind dank der, aus praktischen Gründen, erzwungenen Gültigkeit des Super-

dass selbst die neuesten Auflagen der bekannten deutschen Lehrbücher über Statik und Eisenbetonbau vollständig auf diese neue und bequeme Darstellung von Funktionen mehrerer Variablen verzichten.

Es schien mir deswegen nützlich, wenn auch in knapper Form, auf die beiden möglichen nomographischen Darstellungsverfahren in dieser Arbeit einzugehen. Vielleicht gibt sie die Anregung zur weiteren Verwertung, in der Bau- und Eisenbetonstatik, des bei Lichte besehen so einfachen und elementaren Grundgedankens der Nomographie.

Bei der umfangreichen Rechen- und Zeichenarbeit, die das Auftragen der Nomogramme erforderte, war mir teilweise mein seither verstorbener Hörer Diplom-Ingenieur J. Steevensz in liebenswürdiger Weise behilflich. So hat er namentlich, nach dem Vorbild des Nomogrammes 2, das Nomogramm 3 berechnet und gezeichnet. (Schluss folgt.)

## Der Abschluss der Elektrifizierungsarbeiten der Rhätischen Bahn.

Von W. Dürler, Ober-Elektroingenieur der Rh. B.

(Fortsetzung von Seite 254.)

Einige Daten der Probefahrten mit den C-C-Lokomotiven sollen hier noch angeführt werden:

Anhängewicht . . . . t	258	214	214	203
Steigung . . . . %	20	18	25	35
Fahrgeschwindigkeit . . km/h	33	32	32	31
Fahrdrähtspannung . . Volt	10280	10390	9910	10280
Stromstärke primär . . Amp.	112,5	68,5	95,5	120,5
Leistungsaufnahme primär kW	1028	653	830	1098
Leistungsfaktor $\cos \varphi$ . .	0,89	0,92	0,88	0,89
Frequenz . . . . Per/sec	18	18	16	17 1/2

Bei den gemäss den aufgestellten Vorschriften vorgenommenen zwei Doppelfahrten Chur-St. Moritz und zurück sind die Temperaturen der Motorwicklungen mit Thermoelementen ermittelt worden. Von den acht aufgewendeten Elementen hat das in der Erregerwicklung im Nutteil gegen den Kollektor eingegebaut die höchste Temperatur gezeigt. Die Transformator-Temperatur wurde lediglich durch Widerstandsmessung bestimmt, da ein Thermoelement beschädigt war (Thermoelement-Messungen sind übrigens hier, wie bei den Motoren, auch im Probierraum gemacht worden).

Die höchsten Temperaturen treten bei jeder Fahrt am Ende der grossen Rampe, d. i. in Preda auf. Es wurden dort nach der ersten und nach der zweiten Bergfahrt folgende Werte ermittelt:

### Traktionsmotoren:

Thermoelement in der Erregerwicklung, gemessene Ueber-temperatur . . . . .  $75^{\circ}$   $79,5^{\circ}$  C.

Nach V. D. E. 1914 für glimmerisolierte Wicklung von Bahnmotoren zulässig  $100^{\circ}$  C.

### Transformator:

Hochspannungswicklung: Tem- peraturzunahme . . . . .  $33^{\circ}$   $44,5^{\circ}$  C.

Niederspannungswicklung: Tem- peraturzunahme . . . . .  $33,8^{\circ}$  niedriger als oben

Nach V. D. E. für Trans- formatorwicklung mit Iso- lierung durch imprägnierte Baumwolle in Luft zulässig (§ 19 der Vorschriften wurde hier ausgeschlossen) . . . . .  $60^{\circ}$  C.

Ein Anfahrversuch auf  $35\%$  Steigung mit einem Anhängewicht von 201 t zeigte, dass die Geschwindigkeit von 30 km/h schon in 65 sek erreicht werden kann. Es entspricht dies einer mittlern Anfahrbeschleunigung von  $0,132$  m/sec<sup>2</sup>. Auf  $25\%$  Steigung wurde die gleiche Geschwindigkeit bereits in 38 sek erreicht, die mittlere

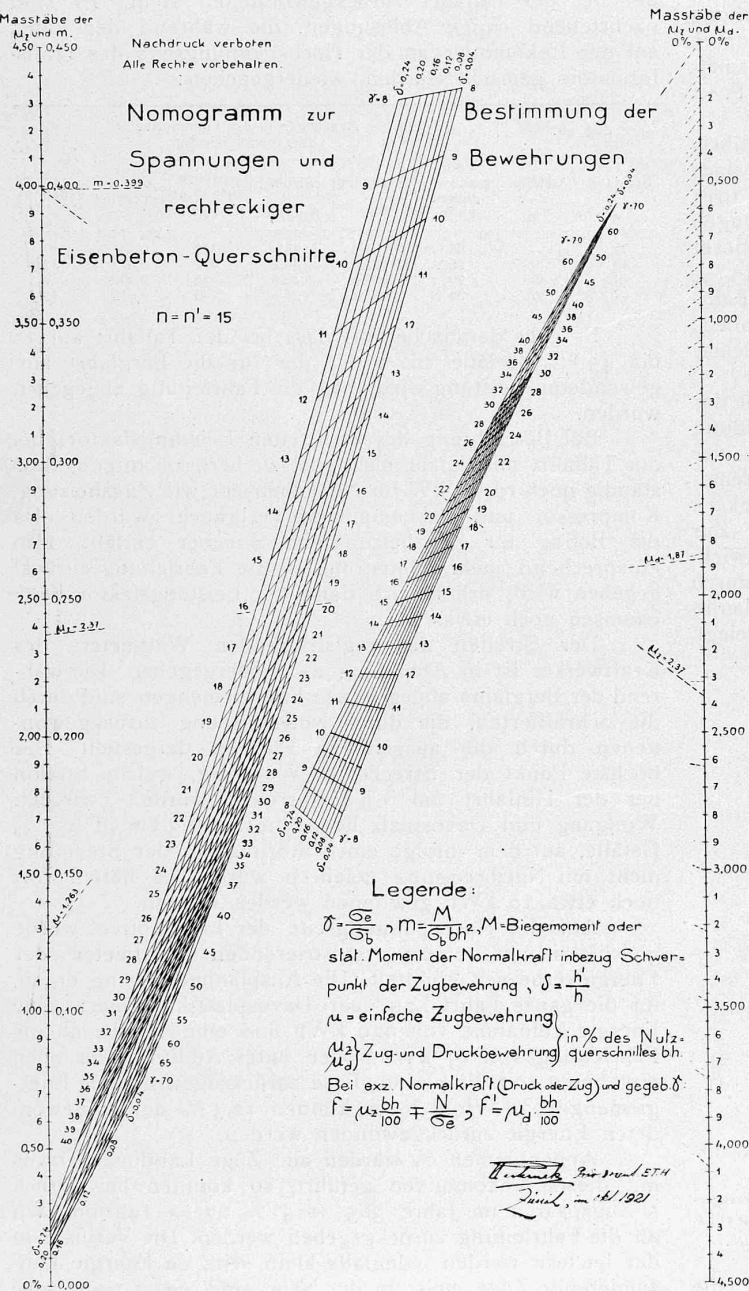


Abb. 6. Nomogramm zur Bestimmung der Spannungen und Bewehrungen für  $n = n' = 15$ .

positionsgesetzes, immer in den äussern, angreifenden Kräften (äussern Deformationsursachen) linear. Die Anwendung der Nomographie auf diesen Gebieten drängt sich deswegen geradezu auf. Umsomehr erscheint es unerklärlich,

<sup>1)</sup> Die Nomogramme können in Originalgrösse beim Verfasser zum Selbstkostenpreise bezogen werden.